

УДК 621.373.826 621.396

## ИЗМЕРЕНИЕ ГИДРОСТАТИЧЕСКОГО ДАВЛЕНИЯ С ИСПОЛЬЗОВАНИЕМ МНОГОМОДОВОГО ОПТИЧЕСКОГО ВОЛОКНА

Ю. Н. Кульчин, В. Ф. Обух

В работе проведено исследование двух конструкций датчиков гидростатического давления, созданных на основе многомодовых оптических волокон. Описана схема обработки оптического сигнала. Исследована зависимость чувствительности датчиков от длины волоконного световода и диаметра защитного чехла.

В настоящее время волоконные световоды нашли широкое применение в телеметрических устройствах как для передачи данных, так и для создания датчиков физических величин [1–3]. Одними из наиболее чувствительных являются датчики интерференционного типа, которые могут быть построены с опорным и без опорного волокна. В последнем случае в качестве опорной волны используется одна из мод оптического волокна (ОВ). Такого рода датчики имеют более простую конструкцию и удобны на практике [1, 4].

В работе [4] приведены данные по изучению одноволоконного датчика. Однако в ОВ возбуждались и наблюдались на выходе предположительно две моды. Такое условие чрезвычайно трудно осуществить, так как рассеяние на неоднородностях многомодового ОВ приводит к перераспределению мощности, введенной в волоконный световод, по всему спектру мод.

В связи с этим в настоящей работе проведено исследование интерференционного датчика гидростатического давления, изготовленного на многомодовом волоконном световоде, в котором одновременно возбуждается широкий спектр мод, а также проведен анализ схемы обработки оптического сигнала.

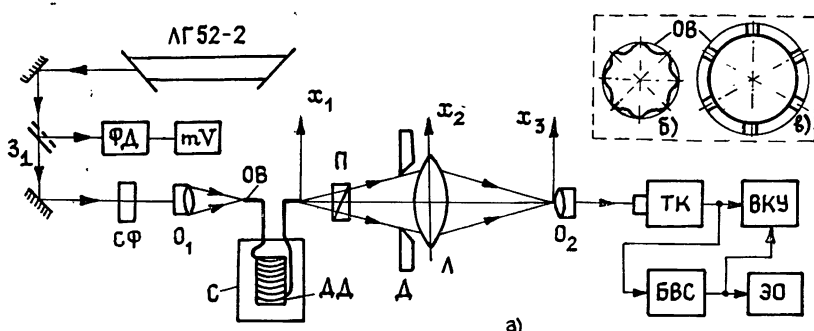


Рис. 1.

Принципиальная схема обработки сигнала и конструкции датчика приведены на рис. 1. На выходе из ОВ наблюдается интерференция когерентных световых волн, излучаемых каждой модой в отдельности. При размещении чувствительного элемента (ЧЭ) датчика в области меняющегося гидростатического давления каждая мода ОВ получит

дополнительный фазовый сдвиг, вызванный изменением длины волоконного световода и константы распространения мод [1-4]:

$$\Delta\Phi_m = \beta_m \Delta L + L \Delta \beta_m, \quad (1)$$

где  $m$  — индекс моды,  $\beta_m$  — константа распространения моды [1],  $L$  — длина волоконного световода.

Изменение фаз мод приводит к изменению картины интерференции. Так как в формировании интерференционной картины участвует большое число мод ОВ, то закон ее изменения от величины давления имеет сложный вид. В результате требуется проведение специальной обработки сигнала на выходе ОВ.

Для обработки была использована установка, схема которой приведена на рис. 1а. Излучение от Не-Не-лазера ЛГ52-2 ( $\lambda=0,63$  мкм) частично отводится полупрозрачным зеркалом ( $Z_1$ ) на узел контроля, который состоит из фотодиода (ФД) и милливольтметра (mV). Далее, после прохождения через корректирующий светофильтр (СФ) и микрообъектив ( $O_1$ ), излучение вводится в оптическое волокно (ОВ), намотанное на датчик давления (ДД). Датчик располагается вблизи дна сосуда с водой (С), высоту столба жидкости в котором можно плавно изменять, тем самым меняя величину гидростатического давления на датчике. Выходящая из ОВ световая волна проходит через поляризатор ( $\Pi$ ), который устраняет деполяризующее действие волоконного световода [5], ирисовую диафрагму ( $\Delta$ ) и собирается линзой ( $L$ ) в фокальной плоскости микрообъектива ( $O_2$ ). Затем коллимированное излучение проецируется на мишень видикона телевизионной камеры (ТК), видеосигнал с которой поступает одновременно на видеоконтрольное устройство (ВКУ) и через блок выделения строки изображения (БВС) на осциллограф (ЭО).

Рассмотрим работу оптической части схемы, ограничившись одномерным случаем. Оси координат  $x_1$ ,  $x_2$ ,  $x_3$  связаны с плоскостью выходного торца ОВ плоскостью линзы ( $L$ ) и плоскостью наблюдения (фокальная плоскость микрообъектива  $O_2$ ). При возбуждении в оптическом волокне всего спектра направляемых волн световая волна на выходе из ОВ будет состоять из суперпозиции волновых полей, возбуждаемых отдельными модами. Обозначим  $U_m(x_1)$  — амплитудно-фазовое распределение для поля волны, возбуждаемой в открытом пространстве модой индекса  $m$ . Тогда поле суммарной волны на выходе из ОВ будет описываться выражением

$$U(x_1) = \sum_m U_m(x_1). \quad (2)$$

Амплитудно-фазовое распределение волны в плоскости наблюдения ( $x_3$ ), согласно [6], с точностью до постоянных коэффициентов запишется:

$$U(x_3) = \exp\left(\frac{i\pi x_3^2}{\lambda d_2}\right) \iint_{x_1 x_2} U(x_1) \exp\left(\frac{i\pi x_1^2}{\lambda d_1}\right) \times \\ \times \exp\left[-\frac{i\pi}{\lambda} \left(\frac{1}{F} - \frac{1}{d_1} - \frac{1}{d_2}\right) x_2^2\right] \exp\left[-\left[\frac{i2\pi}{\lambda} \left(\frac{x_1}{d_1} + \frac{x_3}{d_2}\right) x_2\right]\right] dx_1 dx_2, \quad (3)$$

где  $i$  — мнимая единица,  $\lambda$  — длина волны излучения,  $d_1, d_2$  — расстояния от плоскостей ( $x_1$ ) и ( $x_3$ ) до плоскости ( $x_2$ ),  $F$  — фокусное расстояние линзы.

Если плоскость наблюдения выбрать на расстоянии  $d_2 = F d_1 / (d_1 - F)$  от собирающей линзы, то в (3) можно исключить экспоненциальный член, зависящий от  $x_2^2$ . Поскольку на практике выполняется условие  $x_1 \ll d_1$ , а входной зрачок фокусирующей линзы, ограниченный диафрагмой ( $\Delta$ ), имеет малый размер, можно воспользоваться параксиаль-

ным приближением [6] и упростить (3). Тогда распределение интенсивности в плоскости наблюдения ( $x_3$ ) будет описываться выражением

$$I(x_3) = |U(x_3)|^2 = \left| \frac{\sin [(2\pi/\lambda)(x_3/d_2)D_2]}{(2\pi/\lambda)(x_3/d_2)} * \sum_m U_m(x_3) \right|^2, \quad (4)$$

где  $*$  — операция свертки,  $D_2$  — размер входного зрачка собирающей линзы ( $L$ ).

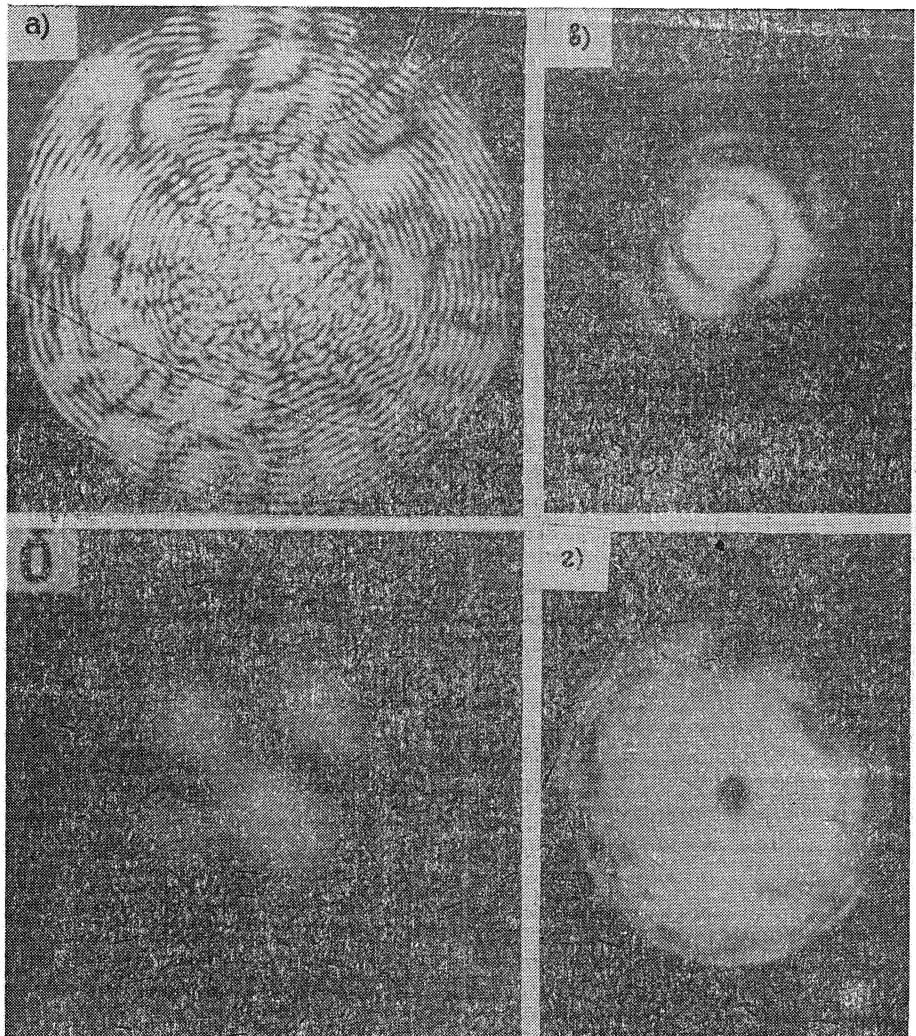


Рис. 2.

Как видно из (4), распределение интенсивности будет соответствовать распределению картины интерференции волн, излучаемых модами ОВ на выходе из волоконного световода, промодулированными полосами Юнга. Диафрагма ( $D$ ), установленная непосредственно перед линзой ( $L$ ), позволяет менять размер входного зрачка и, тем самым, производить фильтрацию вклада волн от различных мод ОВ в картину интерференции. На рис. 2а, б, в приведены фотографии, на которых показана зависимость вида картины интерференции от диаметра  $D_2$  входного зрачка:  $D_2 = 13,5; 2,8; 1,2$  мм при  $d_1 = 16$  см и  $F = 5$  см. Сравнение полученных данных с результатами работ, в которых исследовалась интерференция конечного числа мод волокна [4, 7], подтверждает, что с уменьшением диаметра диафрагмы в формировании результирующей картины интерференции участвует ограниченное число

мод. Таким образом, уменьшая апертурный размер входного зрачка собирающей линзы, можно упростить интерференционную картину в плоскости наблюдения и, тем самым, обеспечить возможность обработки оптического сигнала. Для обработки сигнала с датчика давления выбиралась картина, фотография которой приведена на рис. 2в. Результаты эксперимента также показали, что существенное значение имеет выбор точки отсчета в интерференционной картине и положения плоскости наблюдения относительно линзы ( $L$ ). Как следует из (3), если плоскость  $x_3$  смещена вдоль оси схемы на некоторое расстояние, отличное от  $d_2 = Fd_1/(d_1 - F)$ , то в выражении для поля  $U(x_3)$  сохраняется фазовый множитель с квадратичной зависимостью от  $x_2$ . В результате амплитуда световой волны будет иметь более сложный модуляционный член, который можно описать с помощью интегралов Френеля [8]. Распределение интенсивности волны  $U(x_3)$  по плоскости ( $X_3$ ) будет изменяться при смещении вдоль оси схемы, что может привести к неточности начального отсчета сигнала, а значит, к погрешности измерений. На рис. 2г представлена фотография, показывающая, как изменилось распределение интенсивности в плоскости ( $X_3$ ) для сигнала, первоначально приведенного на рис. 2в, при смещении вдоль оси на расстояние в 7 мм. Как видно, смещение привело к появлению провала в центре наблюдаемой картины.

Дальнейшая обработка проводилась электронным способом. С этой целью интерференционная картина проецировалась на мишень видикона телевизионной камеры, электрический сигнал с которой поступал на видеоконтрольное устройство, что позволяло визуально контролировать настройку схемы, и на блок выделения строки изображения. Видеосигнал строки изображения исследовался на экране осциллографа. При этом изменение давления на ЧЭ датчика приводило к изменению интенсивности интерференционной картины в выделенной строке, а значит, к изменению амплитуды наблюдаемой осциллограммы.

В работе для создания датчиков давления использовались кварцевые оптические волокна со ступенчатым профилем распределения показателя преломления и защитным чехлом из полимерного материала, диаметр сердцевины и оболочки волокон 50 и 150 мкм. Диаметр защитного чехла у волокон типа I составлял 480 мкм, а у волокон типа II — 814 мкм. Чувствительный элемент датчика изготавливается таким образом, чтобы обеспечить преобладание вклада первого члена суммы (1) над вторым. С этой целью ОВ наматывалось на цилиндрические катушки с профилем сечения, показанным на рис. 1б, в. После нанесения световода на катушку датчик покрывался упругим резиновым покрытием и герметизировался. В результате под прикрытием находилась воздушная прослойка. При воздействии внешнего гидростатического давления волокно на катушке прогибается либо сжимается в промежутках между ребрами жесткости. В этом случае возникают большие аксиальные напряжения, приводящие к изменению длины ОВ, величина которого зависит от внешнего давления. Потери на излучение, вследствие деформации волокна, оказываются минимальными, так как радиус кривизны прогиба остается большим.

На рис. 3 приведены экспериментальные зависимости величины изменения сигнала, снимаемого с выхода телевизионной камеры

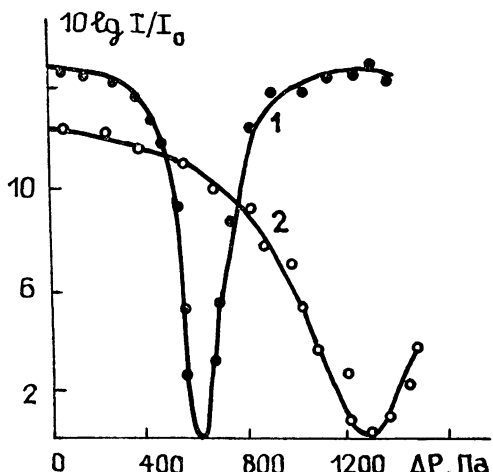


Рис. 3.

( $10 \lg I/I_0$ , где  $I_0$  — амплитуда минимального сигнала), от изменения давления на ЧЭ датчика ( $\Delta P$ ). В датчике использовалась катушка диаметром 31 мм с профилем сечения, приведенным на рис. 1б. Намотка ОВ производилась сплошным слоем. Кривая 1 получена для ОВ типа I при длине волокна  $L=2$  м. Кривая 2 приведена для ОВ типа II длиной  $L=4,5$  м. Диаметр катушки и частота следования ребер жесткости выбирались таким образом, чтобы использовать упругие свойства ОВ на сжатие.

Диаграмма рис. 4 показывает зависимость изменения величины детектируемого сигнала от изменения гидростатического давления для датчика, выполненного на основе катушки с сечением рис. 1в. Диаметр катушки равен 65 мм. Кривые 1 и 2 получены для ОВ типа I с

длинами  $L=5,5$  и  $2,7$  м.

Такая конструкция датчика позволяла исследовать работу ОВ на растяжение.

Для количественного сравнения результатов определим чувствительность датчиков на единицу длины ОВ на ЧЭ по аналогии с работой [9]:

$$C = 10 \lg (I/I_0)/\Delta PL, \quad (5)$$

где  $\Delta P$  — изменение давления на линейном участке

Рис. 4.



экспериментальной зависимости,  $L$  — длина световода на чувствительном элементе.

Согласно соотношению (5) чувствительность датчиков, характеристические зависимости для которых приведены на рис. 3, будет равна  $C_1 = 3,2 \cdot 10^{-2}$  дБ·Па $^{-1} \cdot \text{м}^{-1}$  и  $C_2 = 4,2 \cdot 10^{-4}$  дБ·Па $^{-1} \cdot \text{м}^{-1}$  (кривые 1 и 2 соответственно).

Чувствительность датчиков, изготовленных на основе катушки (рис. 1в), будет равна  $C_3 = 5,5 \cdot 10^{-2}$  дБ·Па $^{-1} \cdot \text{м}^{-1}$  и  $C_4 = 2,3 \cdot 10^{-2}$  дБ·Па $^{-1} \cdot \text{м}^{-1}$  соответственно для кривых 1 и 2 рис. 4.

Полученные результаты для  $C_1$  и  $C_4$  показывают, что чувствительность датчиков, оптическое волокно в которых работает в режиме аксиального сжатия, оказывается выше, несмотря на то, что длина ОВ в обоих случаях практически одинакова. По-видимому, этот результат обусловлен большей концентрацией давления по оси ОВ при его работе на сжатие из-за меньшего радиуса кривизны витков волокна.

Кроме того, сравнение  $C_1$  и  $C_2$  указывает на зависимость чувствительности датчиков от диаметра защитного чехла. Так, с уменьшением диаметра чехла в 1,7 раза чувствительность возрастает почти в 80 раз, что позволяет оптимизировать характеристики ЧЭ датчика выбором параметров оптического волокна.

## ЛИТЕРАТУРА

1. Бутусов М. М., Тарасюк Ю. Ф., Урванцева Н. Л. — Зарубежная радиоэлектроника, 1983, № 5, с. 38.
2. Балаев В. И., Мишин Е. В., Пятакин В. И. — Кvantовая электроника, 1984, 11, № 1, с. 10.
3. Бусурин В. И., Семенов А. С., Удалов Н. П. — Кvantовая электроника, 1985, 12, № 5, с. 901.
4. Layout M. R., Visagio J. A. — Appl. Opt., 1970; 18, № 5, p. 666.
5. Быковский Ю. А., Кульчин Ю. Н., Смирнов В. Л. — Оптический спектр, 1980, 48, № 1, с. 155.
6. Гудмен Дж. Введение в фурье-оптику. — М.: Мир, 1970. — 364 с.
7. Капани Н. С. Волоконная оптика. — М.: Мир, 1969. — 464 с.

- 8 Папулис А. Теория систем и преобразований в оптике.—М.: Мир, 1971.—495 с.  
9. Ривлин Л. А., Семенов А. Т., Шелков Н. В.—Квантовая электроника, 1982, 9, № 9, с. 1836.  
Дальневосточный политехнический институт

Поступила в редакцию  
21 февраля 1985 г.

## HYDROSTATIC PRESSURE MEASUREMENT WITH THE HELP OF MULTIMODE OPTICAL FIBRE

*Yu. N. Kul'chin, V. F. Obukh*

The investigation of two hydrostatic pressure designs manufactured on the basis of multimode optical fibres is carried out. The scheme of optical signal processing is described. The sensor sensitivity as a function of the fibre length and protection cover diameter is studied.

---

Лукин Д. С., Цедилина Е. Е. Выход радиоволн из ионосферы каналов и определение коэффициента диффузии лучей по амплитудным записям сигналов ИСЗ.

В результате численного расчета трассы ИСЗ — приемник показано, что крупномасштабные флуктуации амплитуды сигнала корабля «Восток», полученные в августе 1962 г., связаны с выходом излучения из ионосферного канала при рассеянии его на неоднородностях. Путем сопоставления результатов теоретического расчета по выходу излучения из ионосферного канала при его многократном рассеянии на неоднородностях с экспериментальными записями амплитуды определен коэффициент диффузии лучей.

Успенский М. В., Валлинкоски М. К., Турунен Т. О возможности формирования двугорбого высотного профиля обратного аврорального рассеяния.

Показана возможность формирования высотных профилей видимости аврорального рассеяния с двумя разнесеными по высоте максимумами. Такая «двугорбость» профилей может наблюдаться на высоких частотах УКВ-диапазона, когда высотный градиент ионизации, характеризуемый градиентной длиной  $L_N = N(\partial N/\partial z)^{-1}$ , становится ниже некоторой пороговой величины. Даны количественная оценка такого градиента.

Волкомирская Л. Б., Горбунов С. А., Панфилов С. В., Резников А. Е. Волновые характеристики низкочастотных излучений, зарегистрированных на ИСЗ «Ореол-3».

По спектрам мощности компонент низкочастотных излучений найдены основные закономерности поведения векторов волновой нормали и функции распределения волн от частоты и от инвариантной широты  $L$ . Показано, что с увеличением параметра  $L$  увеличивается интервал частот, на котором справедливо плосковолновое приближение. Отмечается, что на частотах ниже гирочастоты протонов часто возникает второй максимум в функции распределения волн, который можно интерпретировать как отраженную волну.

Сорокин В. М. О роли ионосферы в распространении геомагнитных пульсаций.

Показано, что ионосферные токи, связанные с геомагнитными пульсациями, переносят из высоких в средние и низкие широты гиротропные волны в  $E$ -слое. Рассмотрена генерация этих волн магнитосферным источником. Найдена импульсная функция пульсаций на поверхности Земли.

---